

游戏中的光照与阴影

MILO YIP

2016/3/17

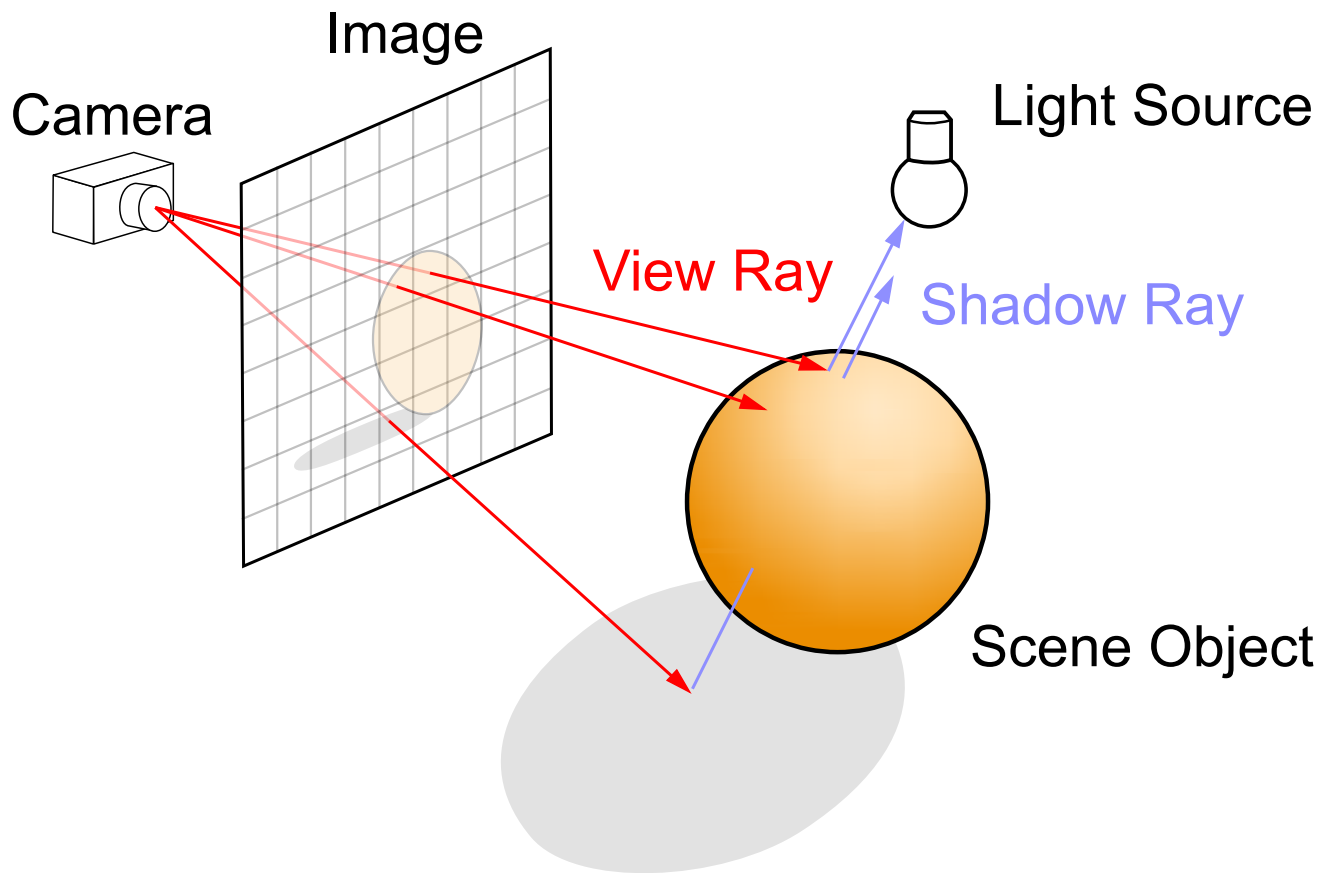


大纲

1. 简介
2. 光源
3. 阴影

1. 简介

重温渲染概念



渲染方程

$$L_o(\mathbf{x}, \mathbf{v}) = L_e(\mathbf{x}, \mathbf{v}) + \int_{\Omega} f(\mathbf{x}, \mathbf{l}, \mathbf{v}) L_i(\mathbf{x}, \mathbf{l}) (\mathbf{n} \cdot \mathbf{l}) d\mathbf{l}$$

- $f(\mathbf{x}, \mathbf{l}, \mathbf{v})$ 为在 \mathbf{x} 处的双向反射分布函数（BRDF），代表材质反射光的特性
- $L_i(\mathbf{x}, \mathbf{l})$ 为入射光的辐射率
- $L_e(\mathbf{x}, \mathbf{v})$ 为自发光的辐射率
- $L_o(\mathbf{x}, \mathbf{v})$ 为出射光的幅射率
- 《材质着色原理与实践》已讲了 f
- 本课程主要讲 L_i

叠加原理

- 光是波，具叠加特性（superposition）：

$$F(x_1 + x_2) = F(x_1) + F(x_2)$$

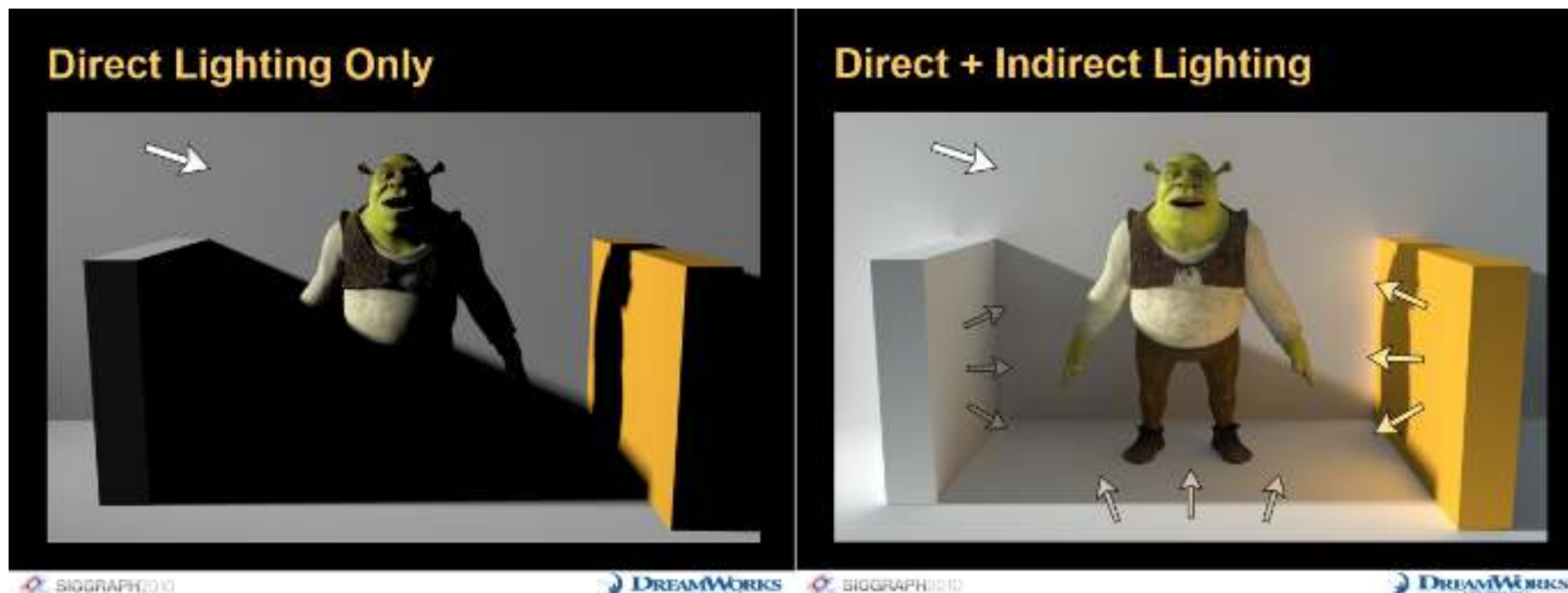
$$F(ax) = aF(x)$$

- 在不考虑光的干涉（interference）现象时，可以独立计算每个光源的影响，把结果相加



「阳光下的泡沫 是彩色的」 G.E.M. 《泡沫》

局部光照 VS 全局光照



- 局部光照 (local illumination) 的入射光 L_i 是直接光源
- 全局光照 (global illumination) 的入射光 L_i 可来自直接光源或其他间接反射光

局部光照的渲染方程

- 渲染方程原来是对半球方向积分：

$$L_o(\mathbf{x}, \mathbf{v}) = L_e(\mathbf{x}, \mathbf{v}) + \int_{\Omega} f(\mathbf{x}, \mathbf{l}, \mathbf{v}) L_i(\mathbf{x}, \mathbf{l}) (\mathbf{n} \cdot \mathbf{l}) d\mathbf{l}$$

- 局部光照只考虑光源作为入射光，渲染方程可简化为：

$$L_o(\mathbf{x}, \mathbf{v}) = L_e(\mathbf{x}, \mathbf{v}) + \sum_{\text{for each light with } \mathbf{l}, L_i} f(\mathbf{x}, \mathbf{l}, \mathbf{v}) L_i(\mathbf{x}, \mathbf{l}) (\mathbf{n} \cdot \mathbf{l})$$

实时光照渲染管道

1. 前向着色 (forward shading)
2. 延迟渲染 (deferred shading)
3. 延迟光照 (deferred lighting)
4. 分块前向 / 延迟着色 (tiled forward/deferred shading)

前向着色

- 逐个光源和其受影响的几何物体组合渲染：

```
For each geometry G
  For each light L
    Rasterize G, shade with L
    Accumulate result to color buffer
```

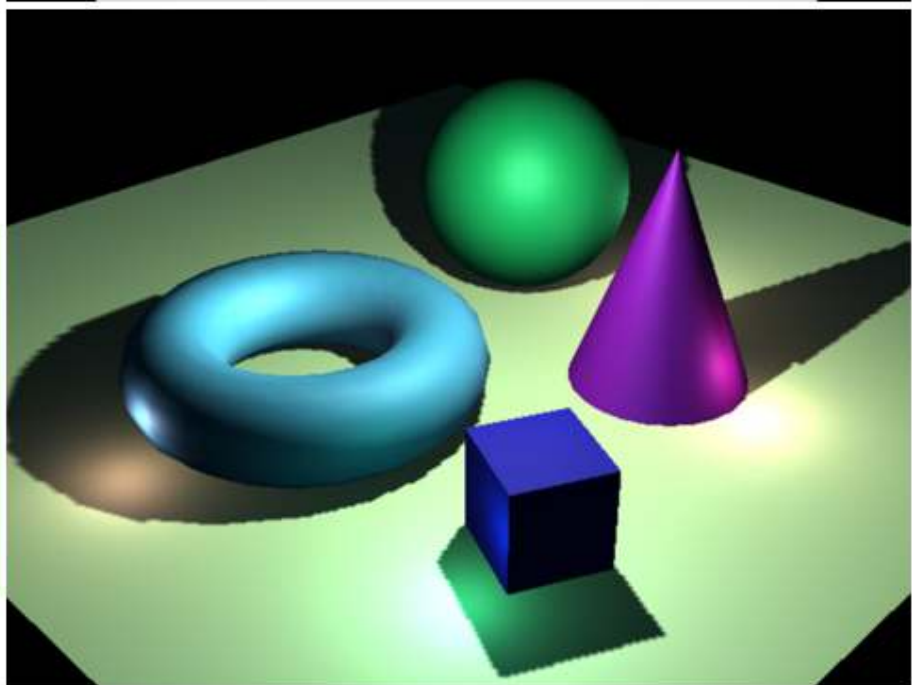
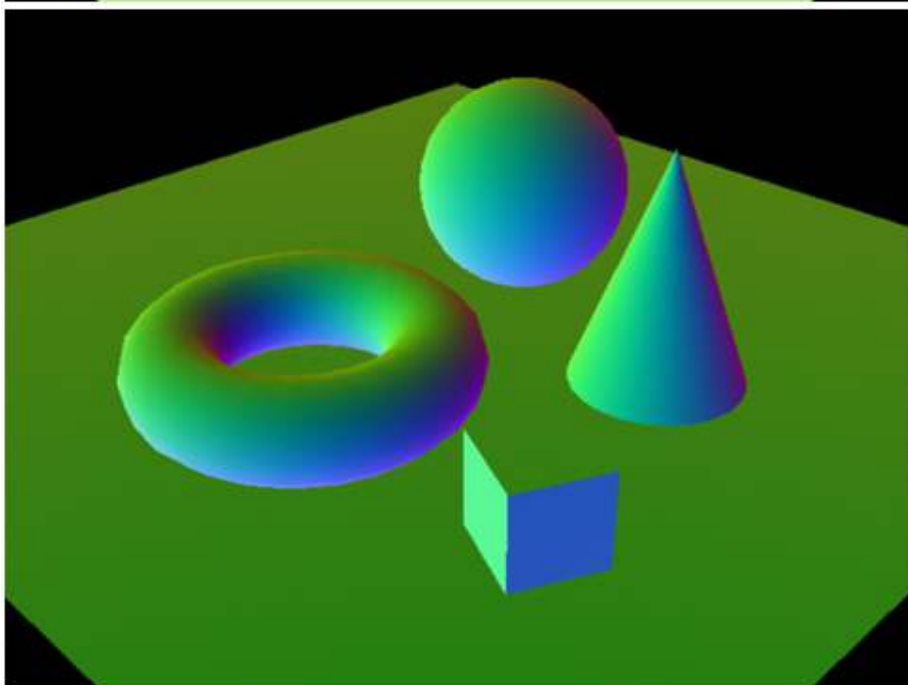
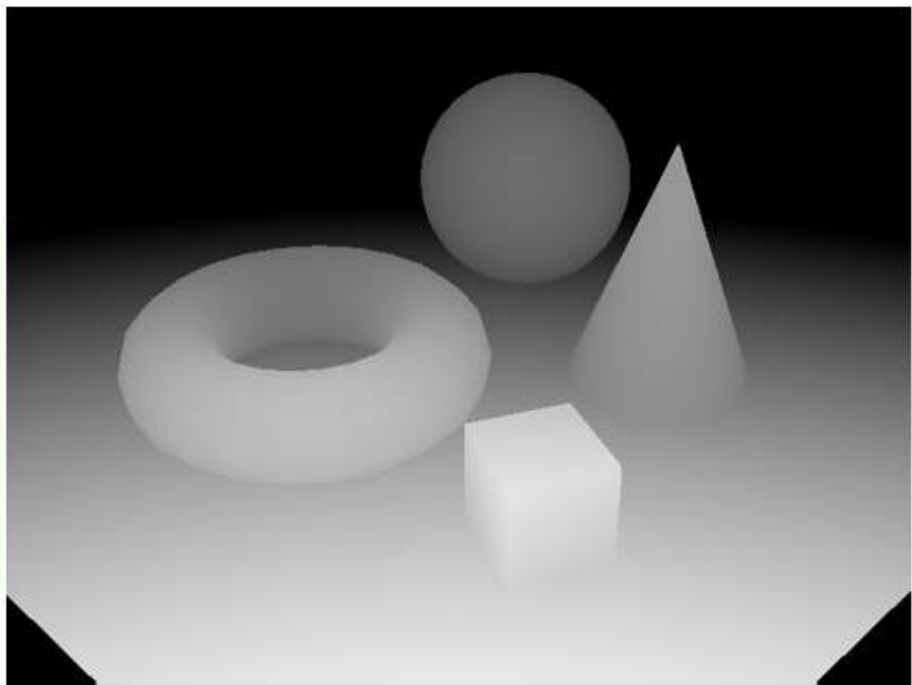
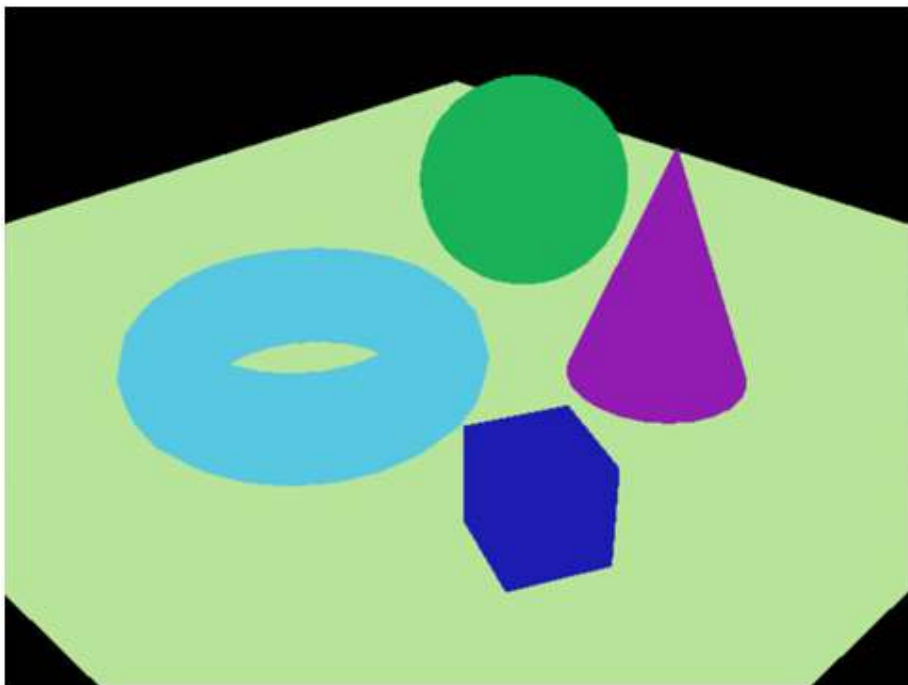
- 可使用 alpha 混合的叠加模式
- 若有 m 个物体， n 个光源，时间复杂度为 $O(mn)$

延迟渲染

```
For each geometry G
  Rasterize depth, normal, diffuse, ... of G to G-buffer

For each light L
  Rasterize L, shade with G-buffer
  Accumulate result to color buffer
```

- 时间复杂度降为 $O(m + n)$ ，可渲染大量光源
- 但是有存取 G-buffer 的开销
- 材质的 BRDF 必须固定，越多参数，G-buffer 越大
- 不能使用 MSAA
- 不能渲染半透明物体（因 G-buffer 只存储一层信息）



延迟光照

- 分解着色方程，例如 Phong 的漫反射项在多光源下：

$$\sum_i L_d^i = \sum_i K_D \otimes E_L^i(\mathbf{n} \cdot \mathbf{l}^i) = K_D \otimes \sum_i E_L^i(\mathbf{n} \cdot \mathbf{l}^i)$$

```
For each geometry G
  Rasterize depth, normal of G to G-buffer

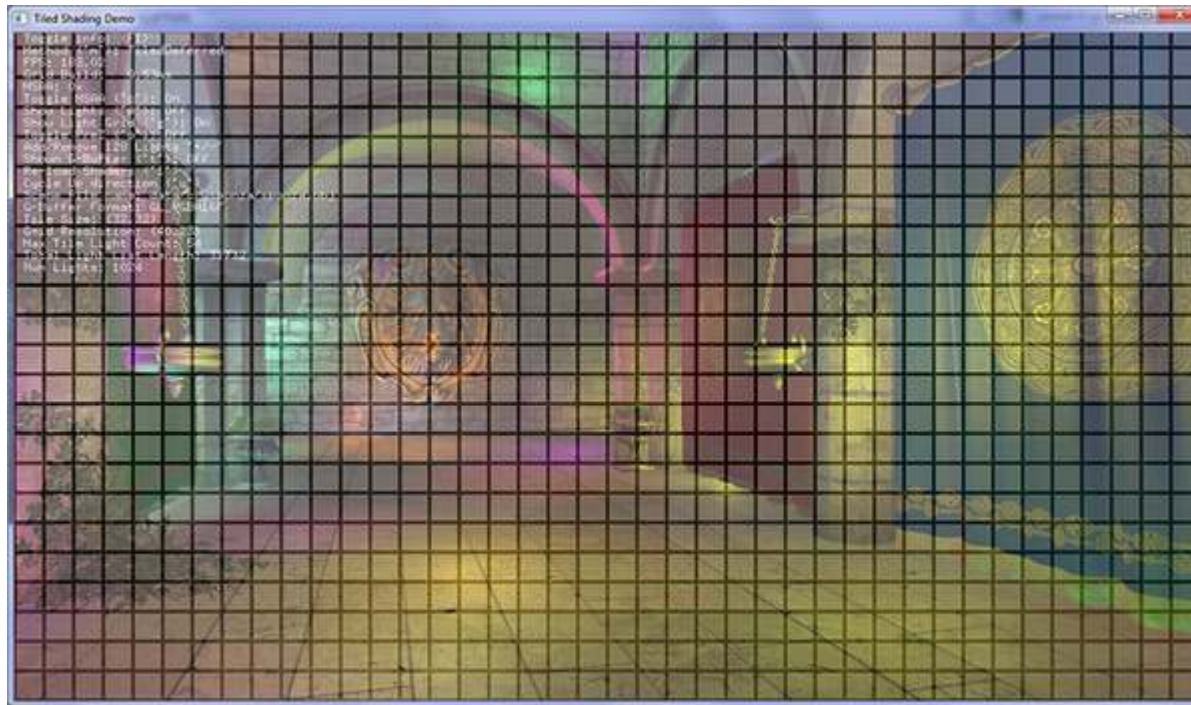
For each light L
  Rasterize L, compute light factors with G-buffer
  Accumulate result to light buffer

For each geometry G
  Rasterize G with G-buffer and light buffer
```

- 仍然是 $O(m + n)$ ，但减少了 G-Buffer 的大小及带频

分块前向 / 延迟着色

- 先收集每个 tile（如 16×16 像素）受哪些光源影响
- 着色时根据像素位置读取光源列表



SIGGRAPH Asia 2014 见闻之
《高效地使用大量光源于实时着色》课程

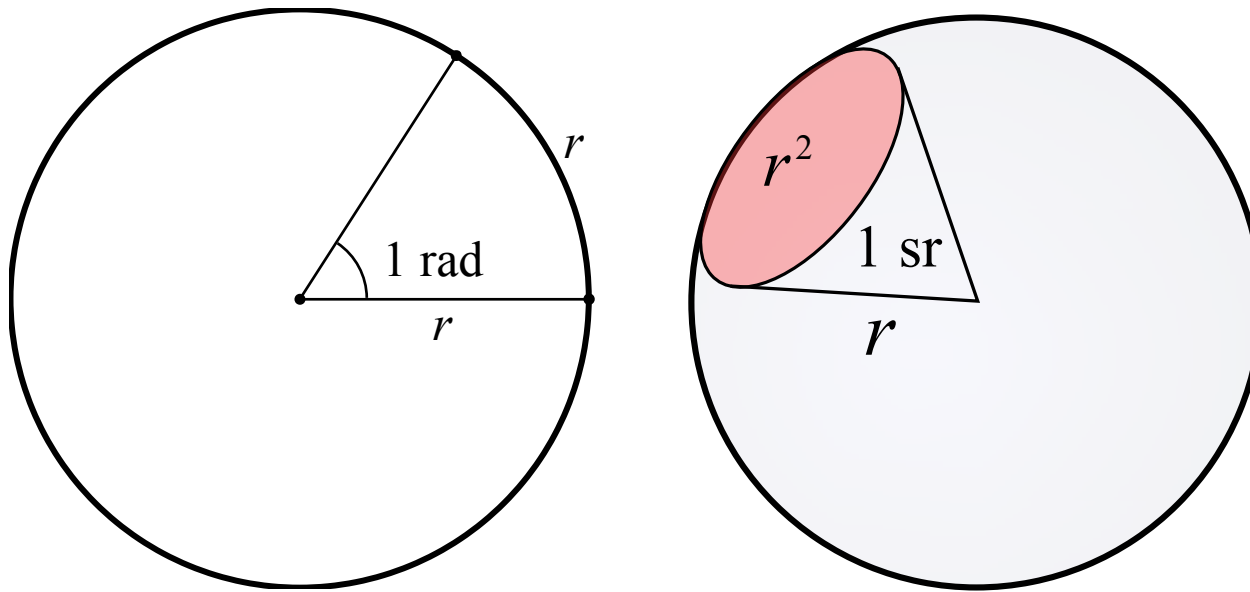
2. 光源

辐射度量学

物理量		意义	国际单位
辐射能 radiant energy	Q	能量	J
辐射通量 radiant flux	Φ	功率	W
辐照度 irradiance	E	每单位面积的辐射通量	$\text{W} \cdot \text{m}^{-2}$
辐射率 radiance	L	每单位立体角、 每单位面积的辐射通量	$\text{W} \cdot \text{sr}^{-1} \cdot \text{m}^{-2}$

立体角

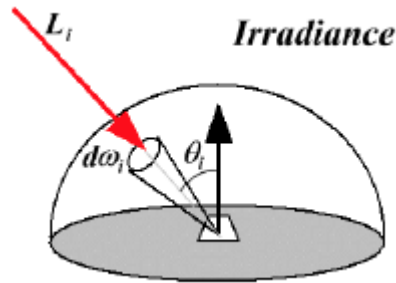
- 立体角 (solid angle) 是平面角的三维版本
- 平面角的单位是弧度 (radian) ，单位 rad
- 立体角的单位是球面度 (steradian) ，单位 sr



辐照度与辐射率

- 辐照度 E 是单位平面上所有方向的辐射通量 $E = \frac{\partial \Phi}{\partial A}$
- 辐射率 L 是单位平面上某方向、每单球面度的辐射通量

$$L = \frac{\partial^2 \Phi}{\cos \theta_i \partial A \partial \omega}$$



$$E = \int_{\Omega} L_i \cos \theta_i d\omega_i$$

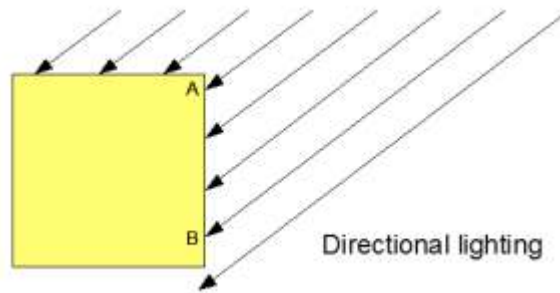
环境光

- 环境光 (ambient light) 是实时光照的 hack
- 问题：在局部光照中，没被直接光照的地方会完全黑色
- 解决方法：任何位置也给与一个环境光源
- 传统的 Phong 着色中，环境光项：

$$I = K_a I_a$$

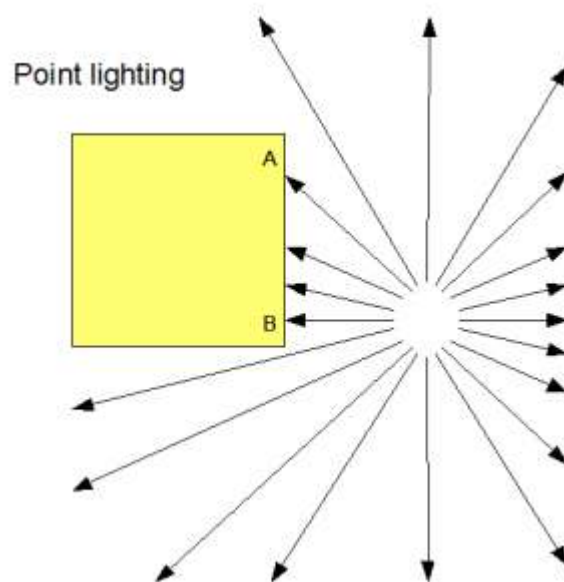
- K_a 是材质的环境光反射量
- I_a 是全局的环境光强度
- 注意：基于物理着色时并不使用这种方式

方向光



- 方向光（directional light）在任何位置的方向都相同
- 可模拟遥远的光源，如太阳光
- 方向光的固定方向为 \mathbf{l} ，固定辐照度为 E_L

点光



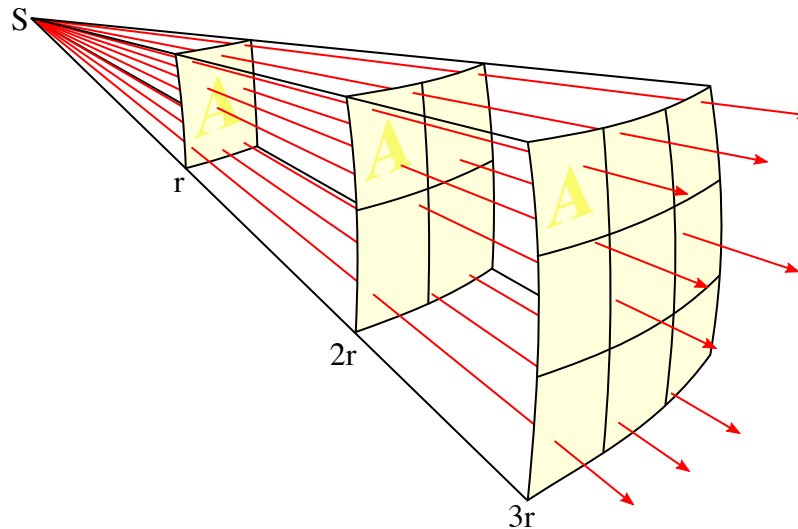
- 点光（point/omni light）是从一点 \mathbf{x}_p 发散的光源
- 对于位置 \mathbf{x} ，点光的方向 \mathbf{l} 为

$$\mathbf{l} = \frac{\mathbf{x}_p - \mathbf{x}}{\|\mathbf{x}_p - \mathbf{x}\|}$$

距离衰减

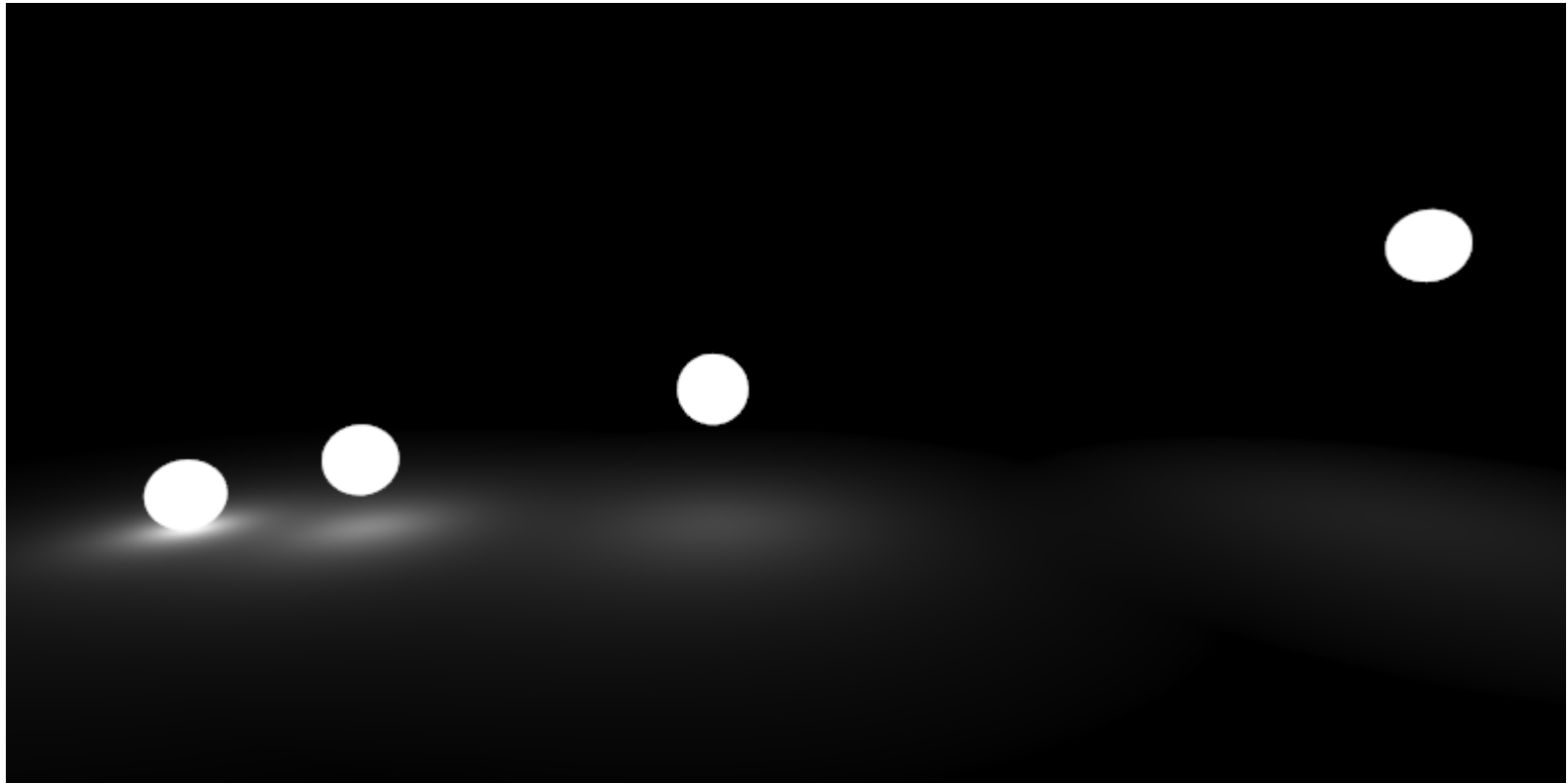
- 设点光源的距离为 $r = \|\mathbf{x}_p - \mathbf{x}\|$
- 基于平方反比定律，点光的辐照度按距离衰减 (attenuation)

$$E_L(\mathbf{x}) = \frac{I_L}{r^2}$$

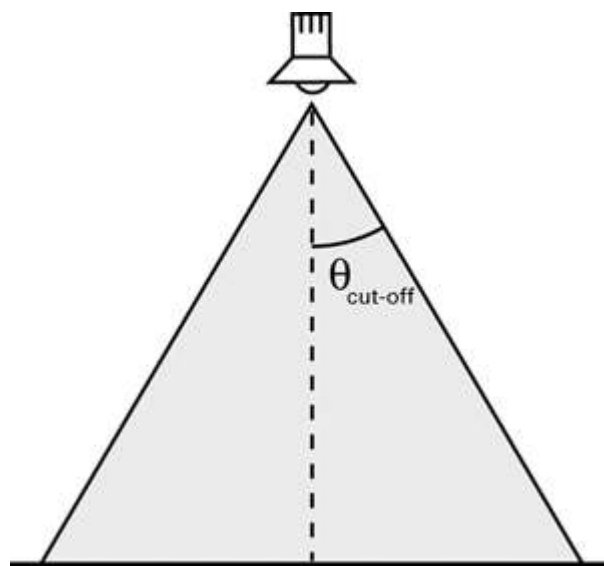


距离范围

- 平方反比定律有个问题：光源影响范围是无穷大的
- 这在物理上是正确的（能看到几十亿光年的天体）
- 但不能剔除光源
- 可用其他衰减函数，使 r_{\max} 以外的幅照度为零，例



聚光



- 聚光 (spot light) 是点光再加上角度限制

简单聚光

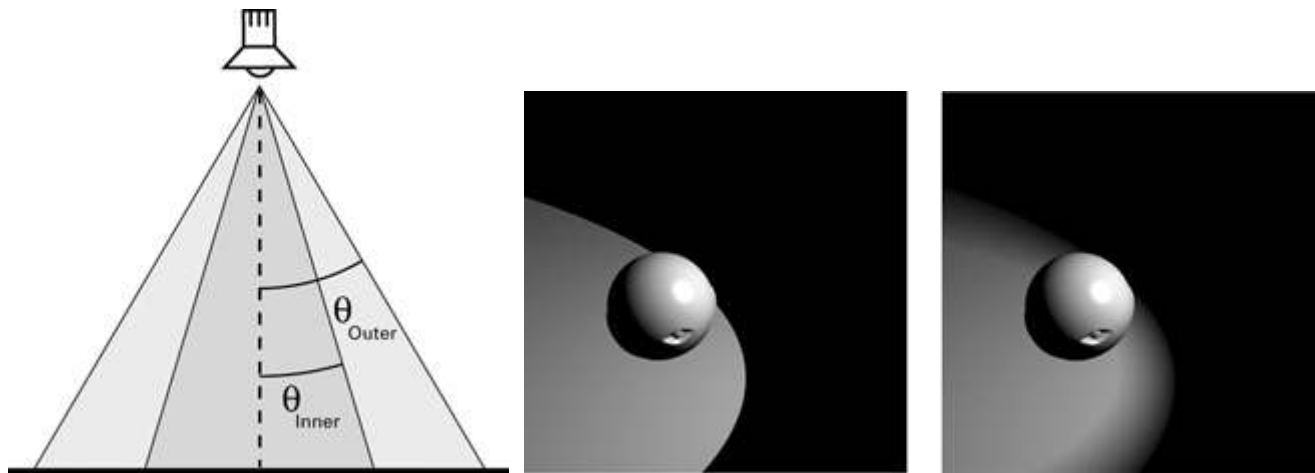
- 和点光相同地计算 \mathbf{l} 和 r
- 给定聚光的方向 \mathbf{d} ，幅射半角为 $\theta_{\text{cut-off}}$

$$s(\mathbf{x}) = \begin{cases} 1 & \text{if } \mathbf{l} \cdot \mathbf{d} < \cos \theta_{\text{cut-off}} \\ 0 & \text{otherwise} \end{cases}$$

- 那么，其幅照度为

$$E_L(\mathbf{x}) = \frac{I_L}{r^2} \cdot s(\mathbf{x})$$

柔和聚光



- 可使用两个角度去计算 $s(\mathbf{x})$ ，产生边缘的过渡
- 但可以更有弹性……

投影贴图

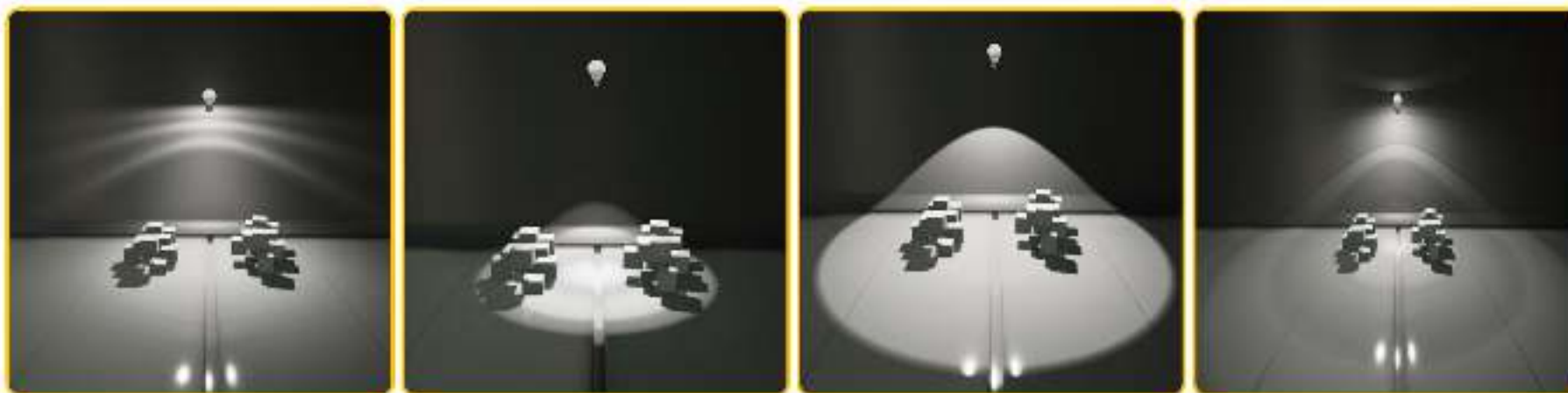


投影贴图实现

- 投影贴图 (projective texture, cookie/gobo texture) 通过纹理投影的光源
- 需设置一个类似摄像头 (camera) 的投影器 (projector)
- 把世界坐标 \mathbf{x} 转换至投影器的齐次裁剪空间 $[-1, 1]^3$
- 对纹理采样，获得 E_L 或 I_L
- 点光源可使用 cube 纹理

IES PROFILE

- UE4 支持美国照明工程学位（IES）的灯具数据格式
- 类似于投影贴图，但只需要一维纹理

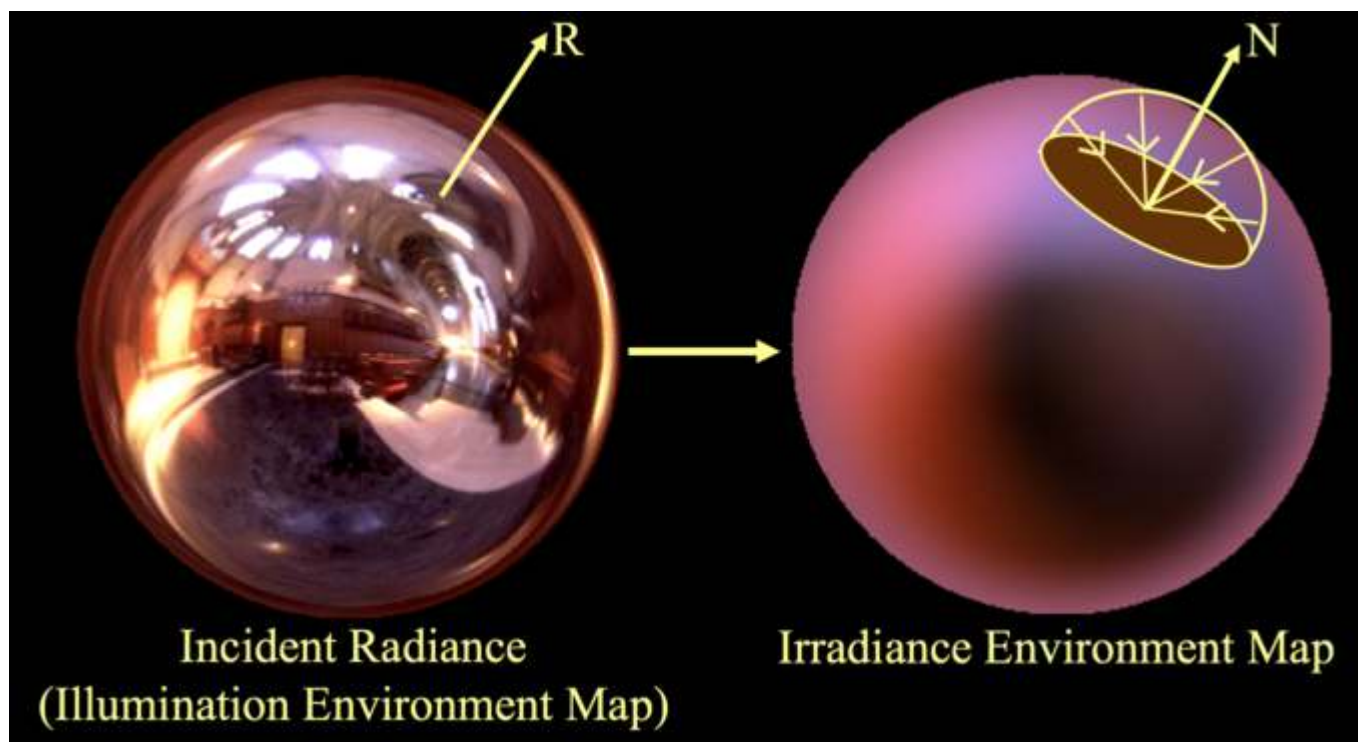


再探环境光

- 真实的环境有许多光源 / 反光体（如天空、地面）
- 局部光源不能满足

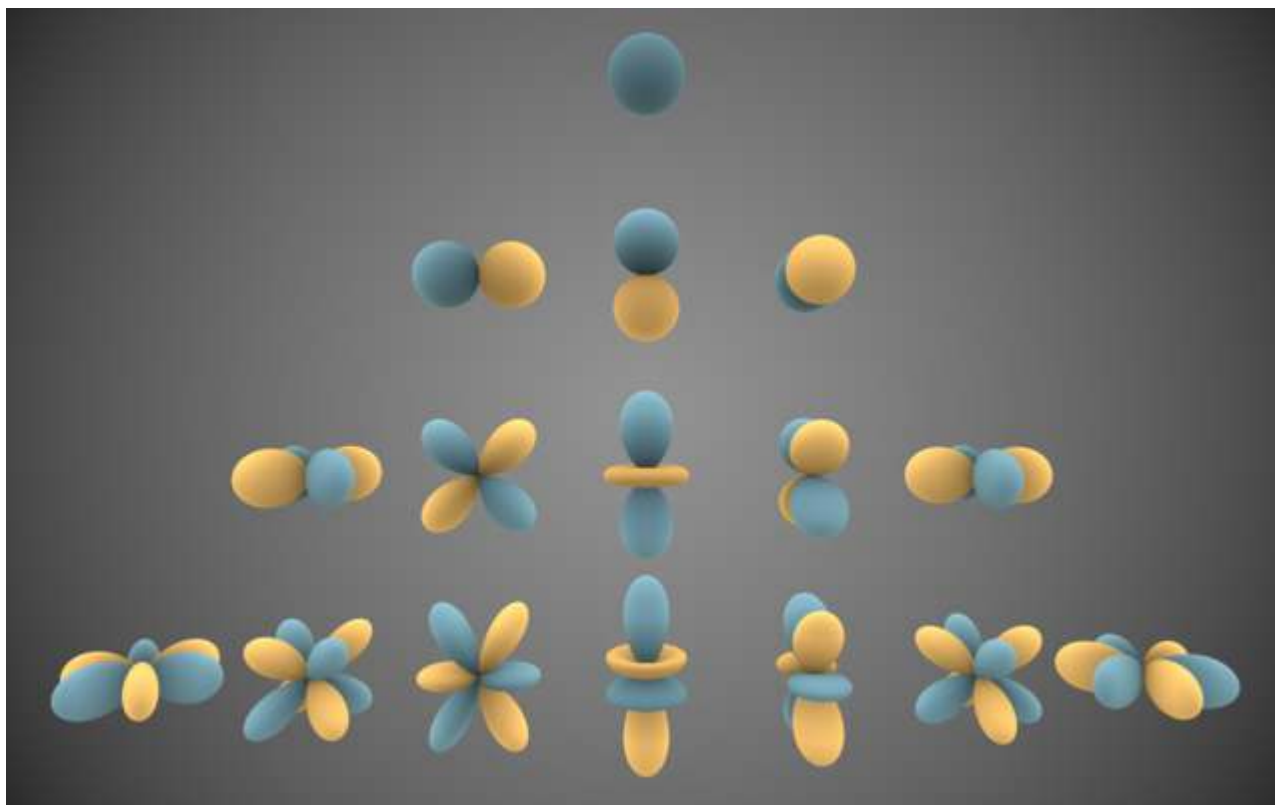


辐照度环境贴图



$$E = \int_{\Omega} L_i \cos \theta_i d\omega_i$$

球谐函数



- 球谐函数 (spherical harmonics, SH) 类似 FFT，把空间域转换成频域，但使用球坐标

SH 幅照度环境贴图

Exact image

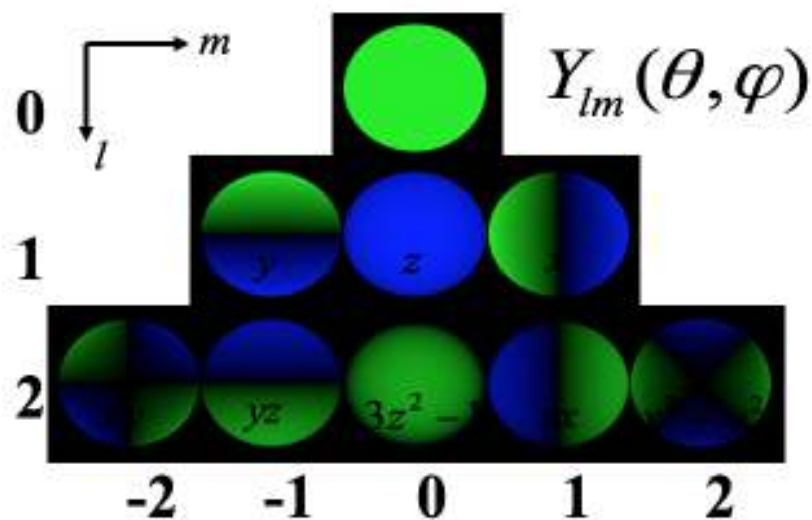


Order 2
9 terms



RMS Error = 1%

For any illumination, average
error < 3% [Basri Jacobs 01]



辐照度体积



3. 阴影

什么是阴影？



"0 to 9" by Kumi Yamashita

阴影的相关定义

- 若点 \mathbf{x} 不能看见光源，则它位于阴影之中
- 换句话说，阴影是光源的可见性函数

$$V_L : \mathbf{x} \rightarrow [0, 1]$$

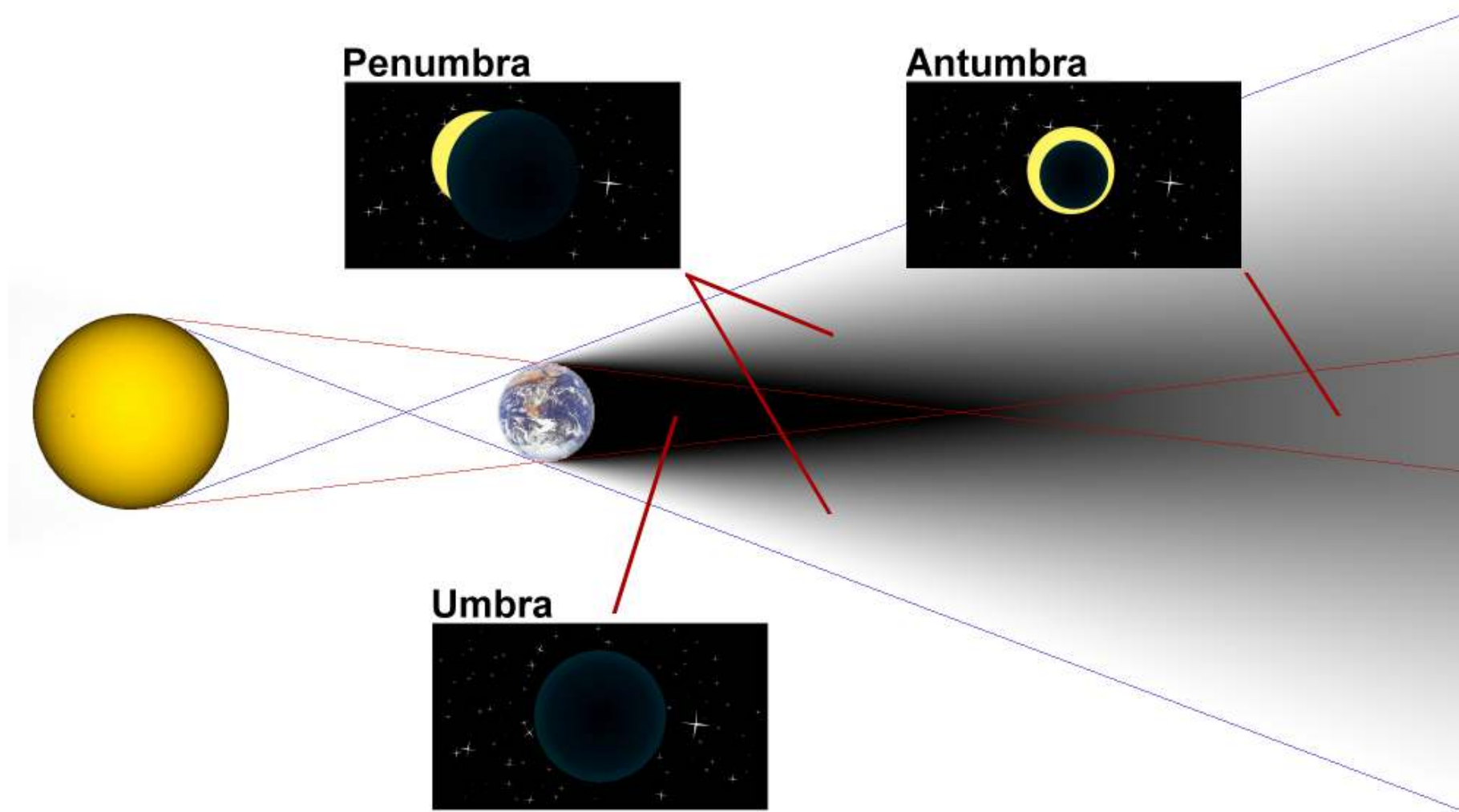
- 为了减少运算，通常只会设置部分物件具阴影功能：
 - 在光源上设置是否使用阴影功能
 - 能遮挡光源的物体为阴影投射体 (shadow caster)
 - 能接受阴影的物体为阴影接收体 (shadow receiver)

硬阴影与软阴影

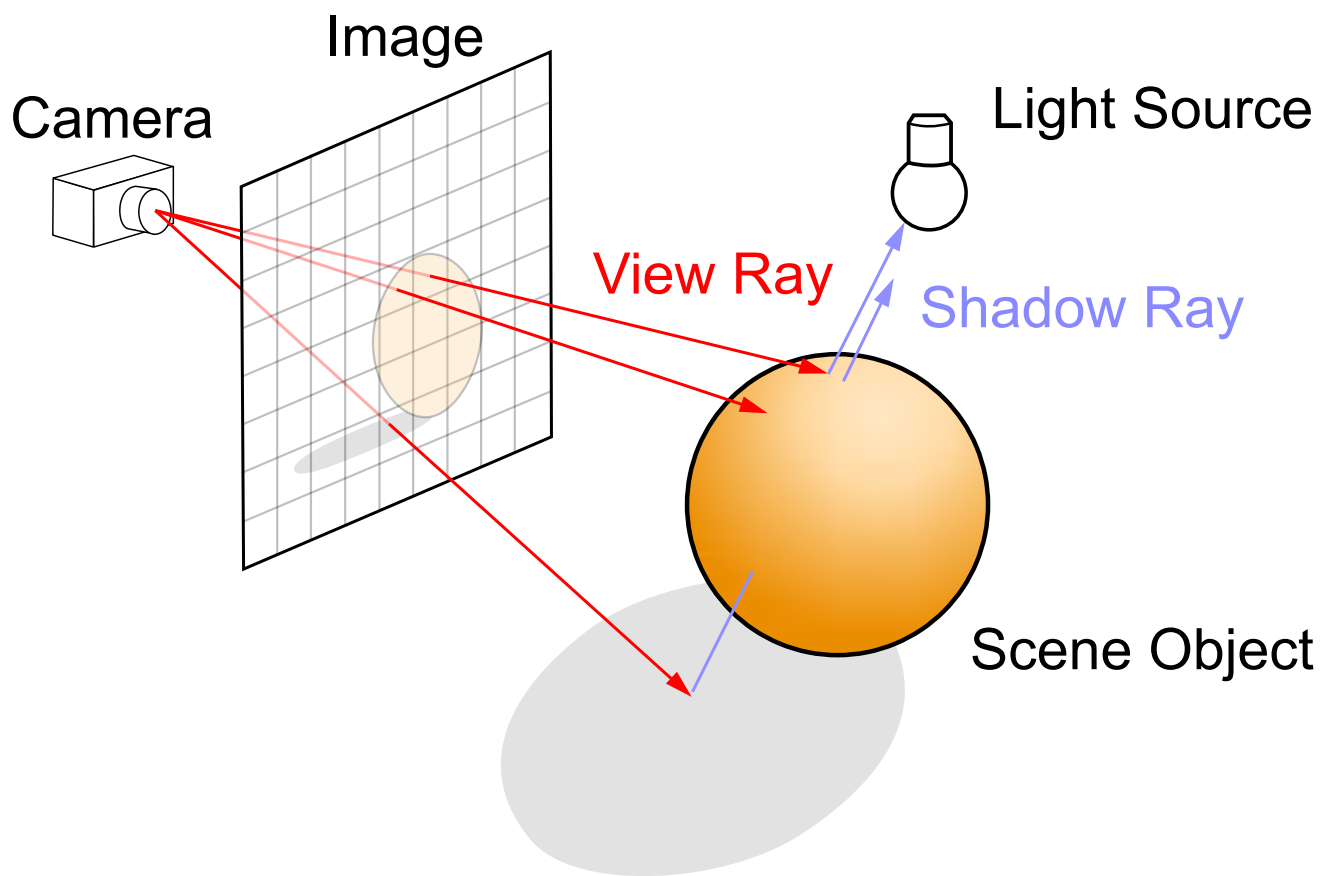
- 完全平行的方向光或无穷小的点光会产生硬阴影
- 具面积的光源产生软阴影 (soft shadow)



本影 / 半影 / 伪本影



光线追踪阴影



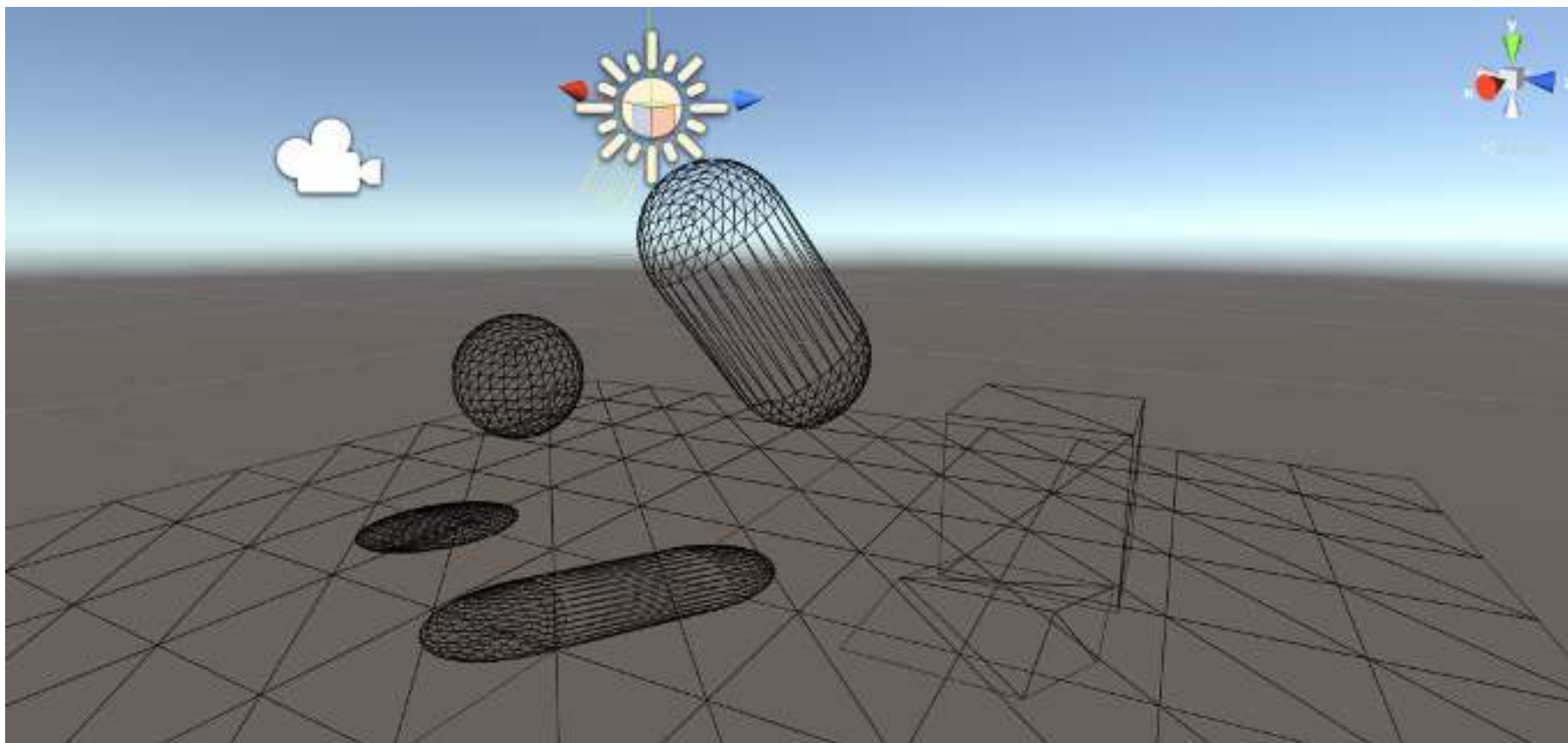
- 使用阴影射线来评估 $V_L(\mathbf{x})$

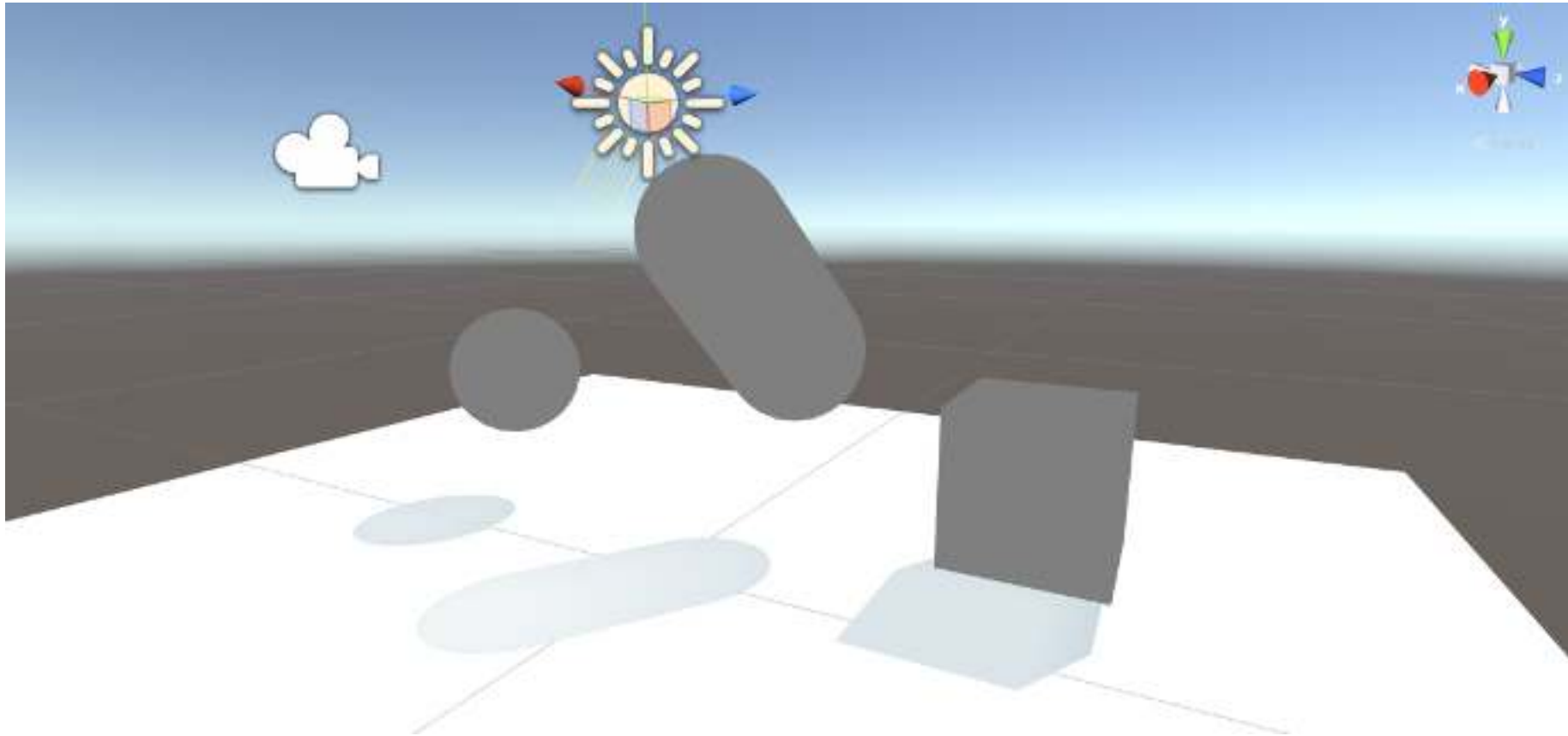
实时阴影的基本方法

- 对于每个支持阴影的光源：
 1. 从光源和阴影投射体建立可见性函数 $V_L(\mathbf{x})$
 2. 渲染阴影接收体时，以 $V_L(\mathbf{x})$ 判断是否受光源影响
- 不同的实时阴影技术差异在于怎么计算及存储 $V_L(\mathbf{x})$

平面阴影

- 若阴影接收体是平面，可把阴影投射体投射至该平面
- 平面阴影（planar shadow）一般是硬阴影





Unity Planar Shadow 例子

平面阴影的渲染

- 正确实现方式：
 1. 渲染阴影接收体的深度、环境光和自发光
 2. 对每个光源，把阴影投射体投射至指定平面
 3. 以 stencil 逐像素记录有没有阴影（即逐像素的 $V_L(\mathbf{x})$ ，而 \mathbf{x} 必须在平面上）
 4. 重新着色接收阴影体，用 stencil 判断是否叠加光照结果
- Hack 方式：
 1. 正常渲染场景
 2. 对每个阴影投射体投射至指定平面，以 stencil 记录
 3. 渲染全屏长方形，把阴影部分以 alpha 混合加深

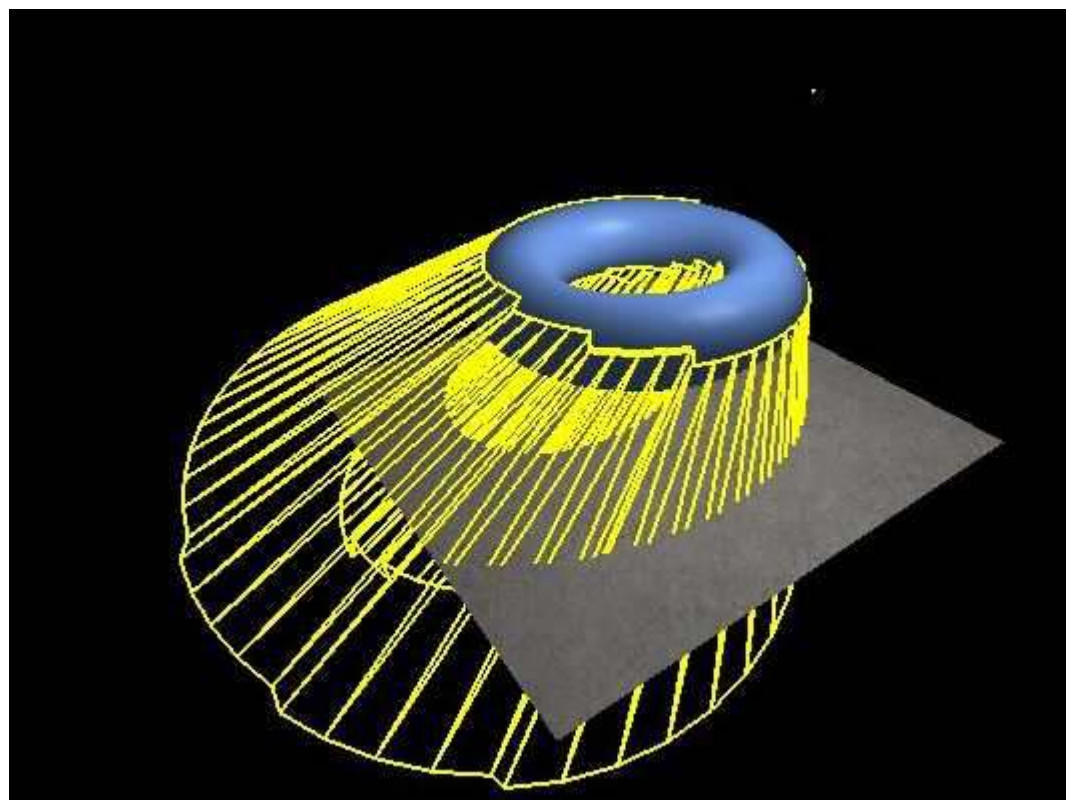
阴影体积

- 阴影体积 (shadow volume) 由 Crow (1977) 发明
- 后来 Heidmann (1991) 使用 stencil 实现
- 之后因《毁灭战士3》 (2004) 而闻名

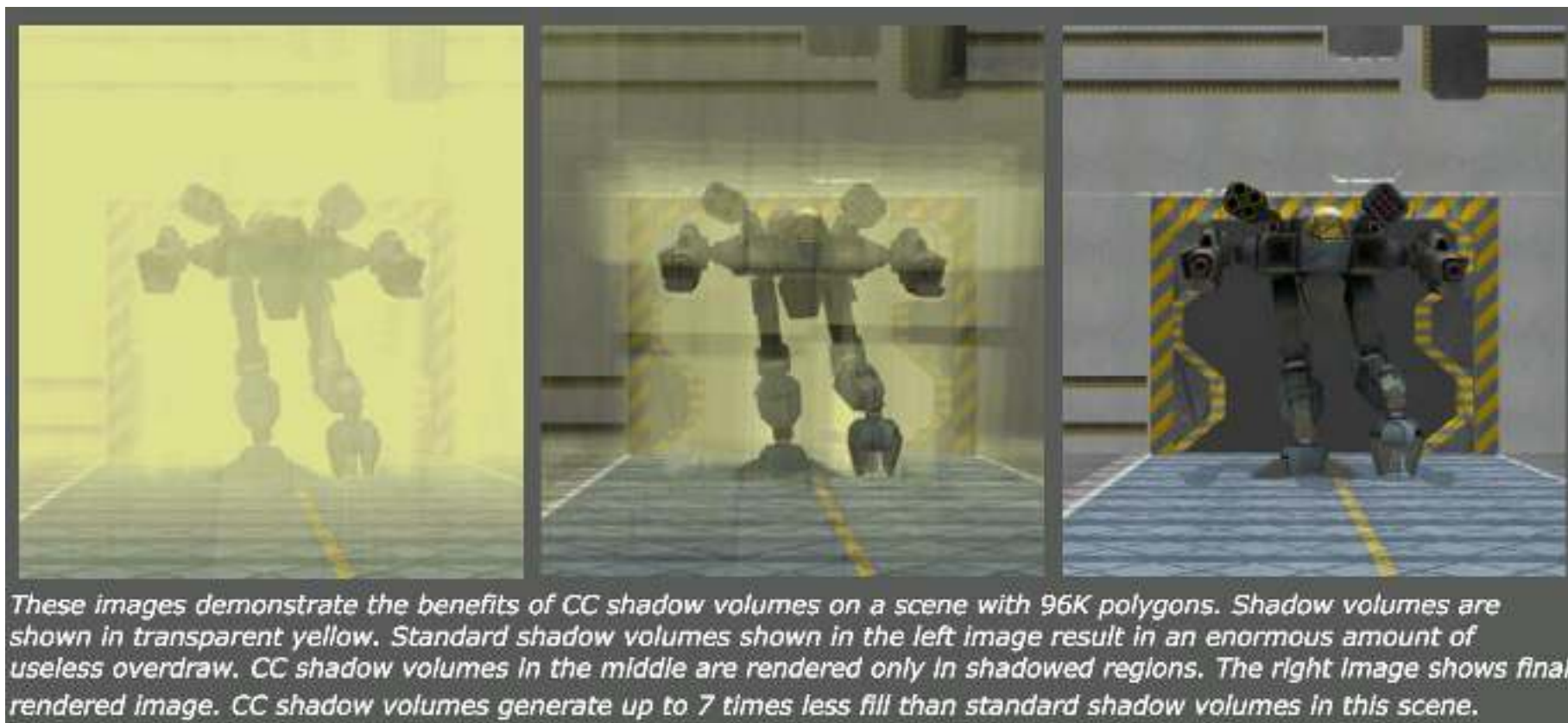


阴影体积原理

1. 从光源方向，找出阴影投射体的轮廓边 (silhouette)
2. 从光源方向，把轮廓边拉伸出 (extrude) 阴影体积
3. 分别渲染阴影体积的正面 / 反面部分，加 / 减 stencil 值
4. 非零的 stencil 值表示在阴影之中，用来渲染该光源



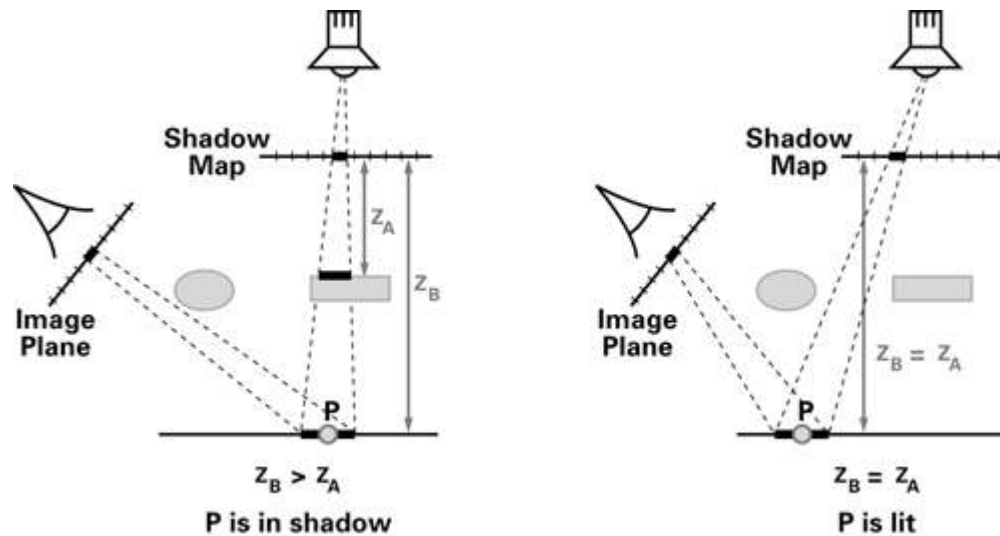
阴影体积的没落



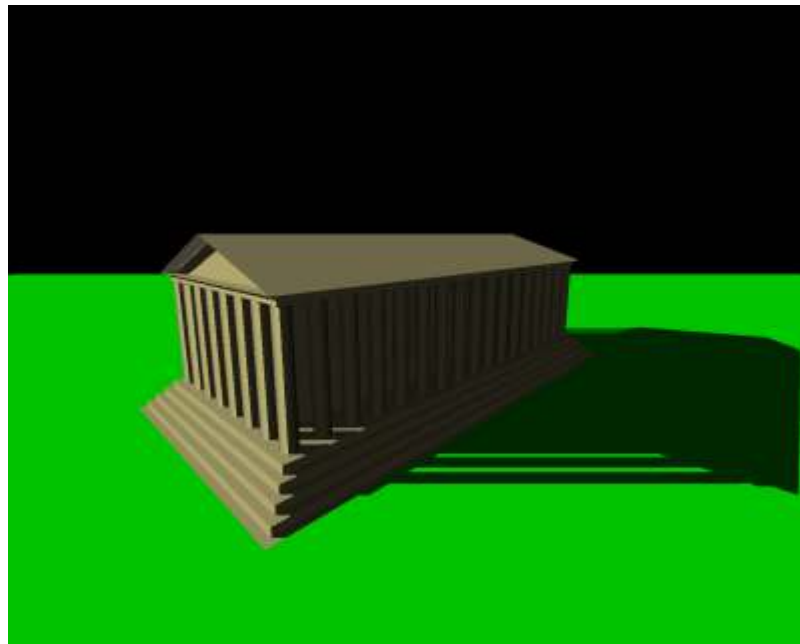
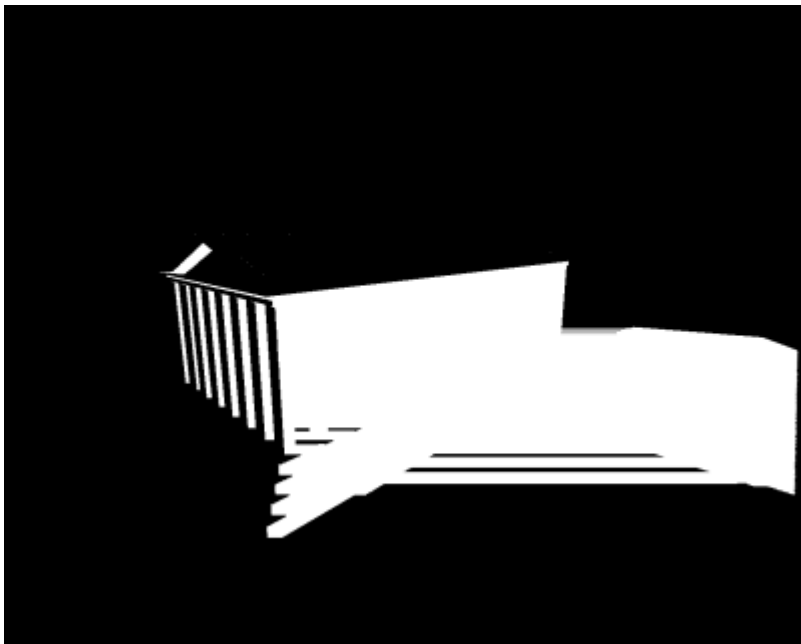
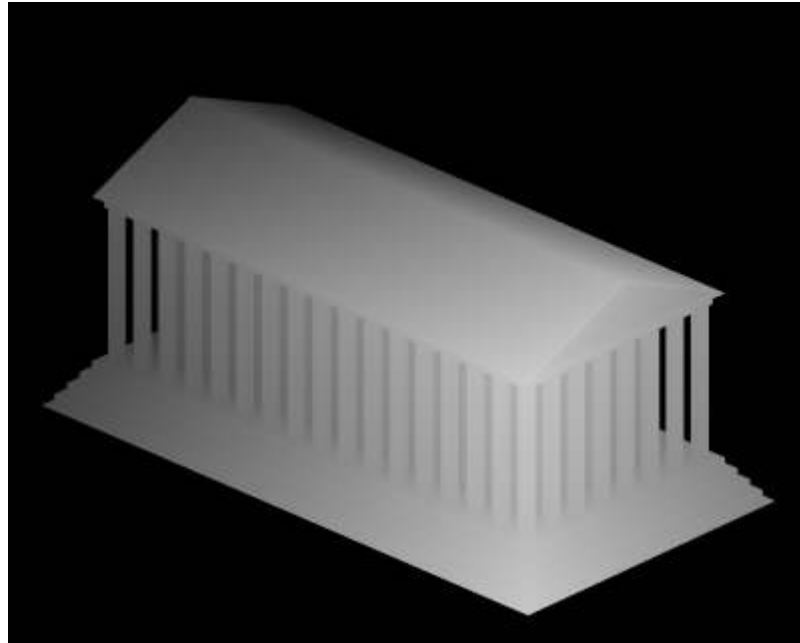
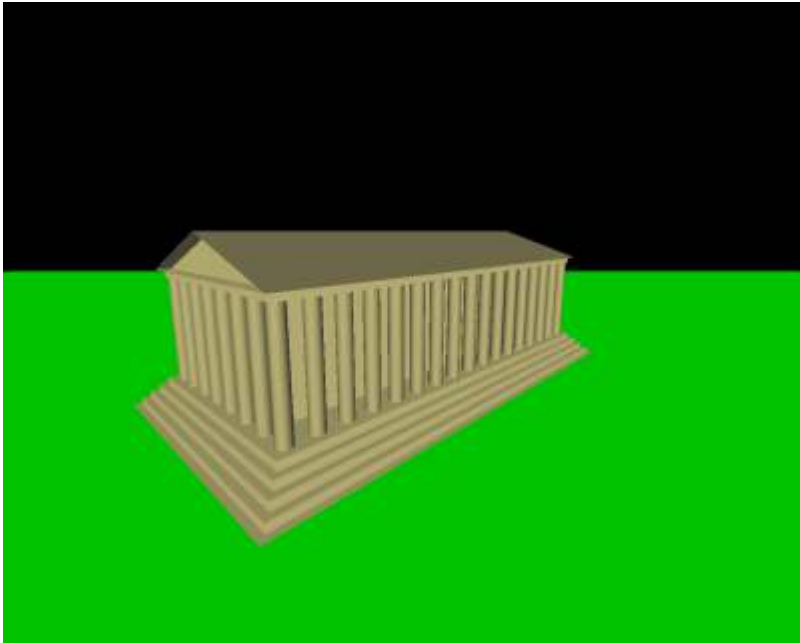
- 阴影体积 overdraw 太严重，即使优化后仍然非常高
- 1080p+分辨率难以承受，也限制阴影投射体的复杂度

阴影贴图

- 阴影贴图（shadow map）是现时的标准阴影算法群
- 先从光源方向渲染阴影投射物的深度贴图（阴影贴图）

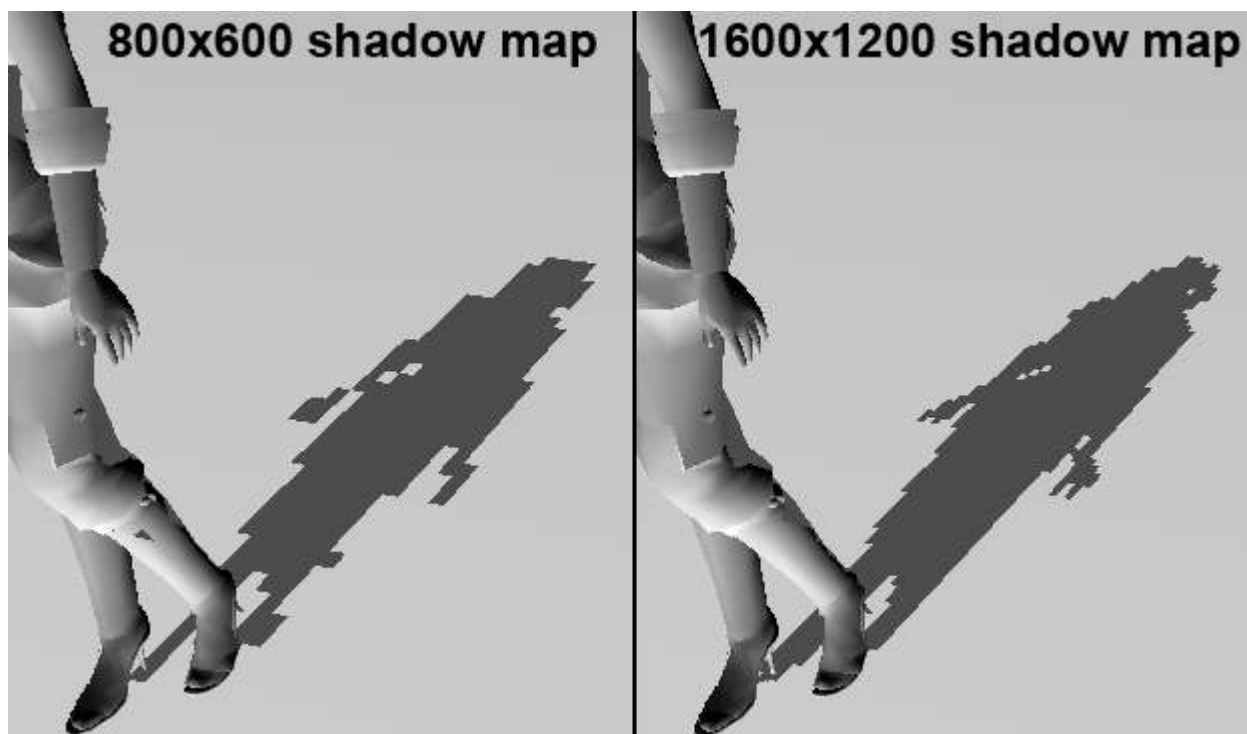


- 渲染阴影接收体时，把 x 转换至光源的坐标系，采样光源至 x 方向的最短距离
- 若该距离比 x 的距离近，即在阴影中

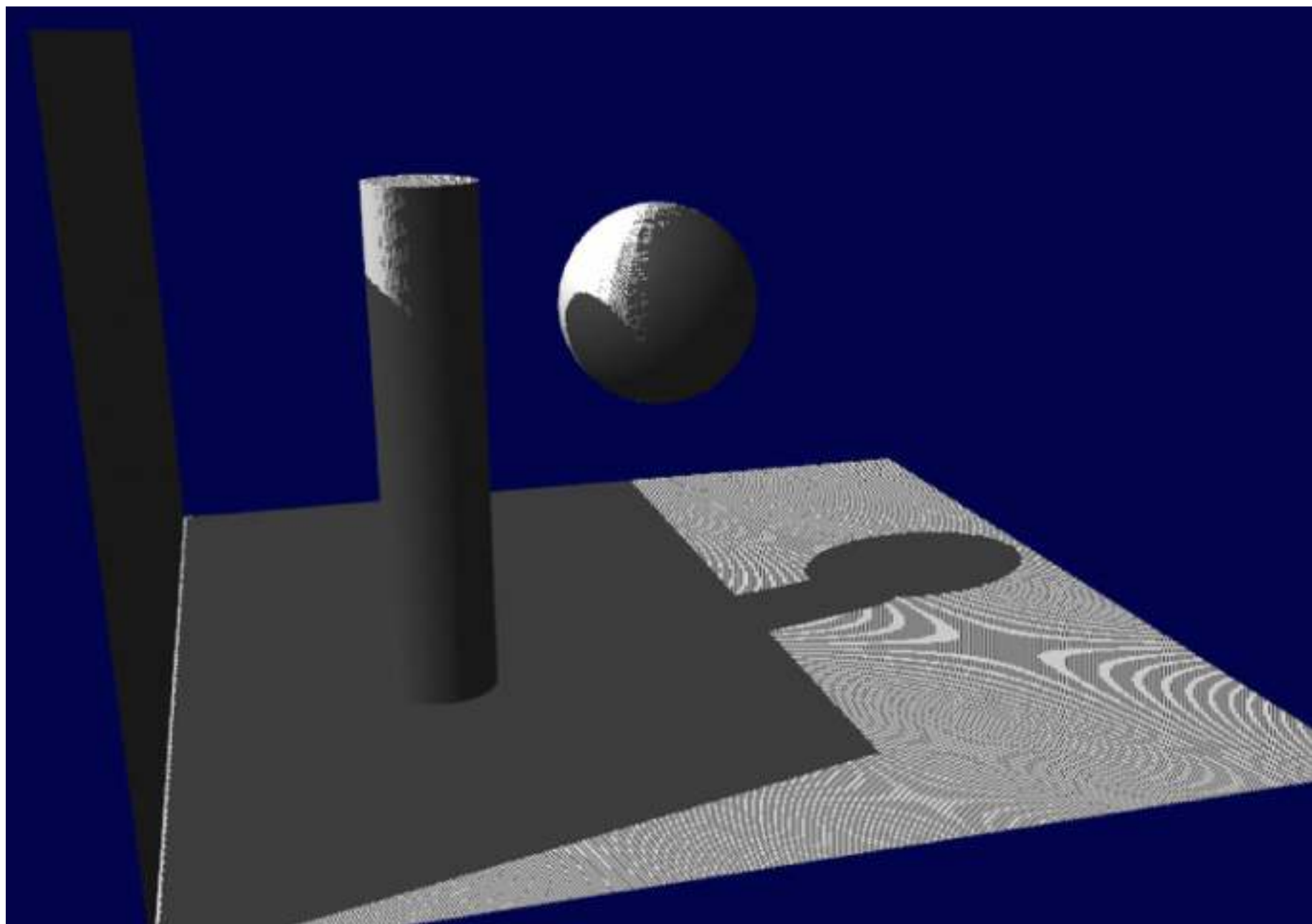


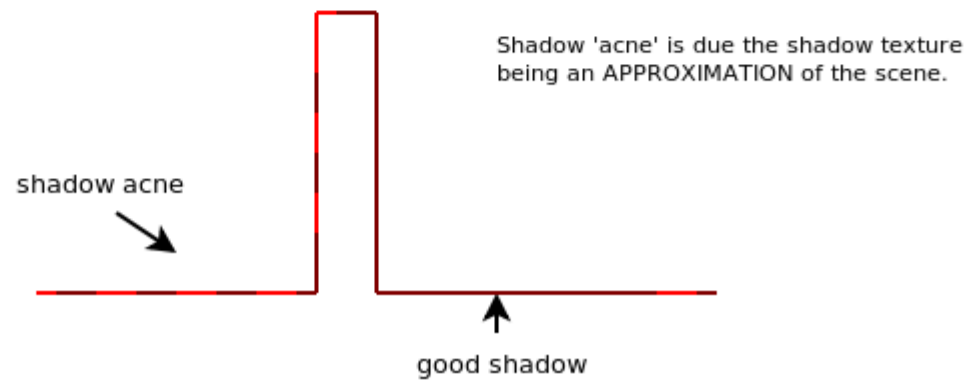
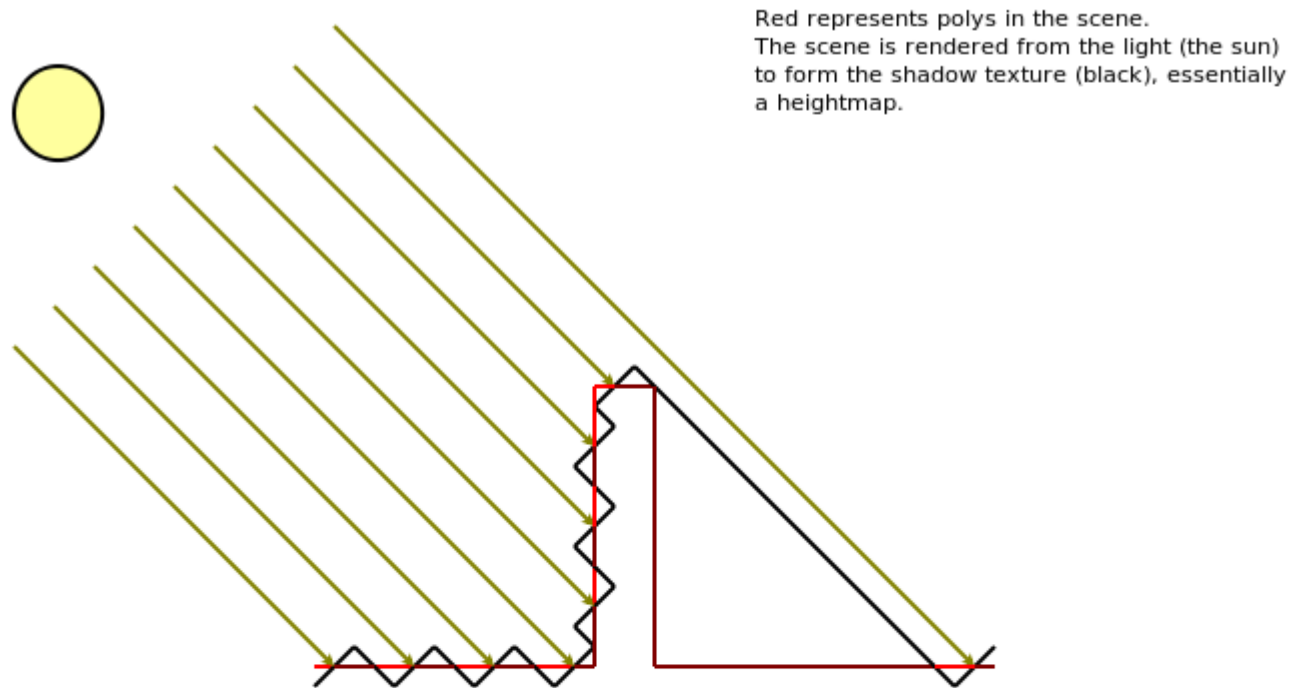
阴影贴图优点

- 容易实现，适合硬件性能好
- 可见性函数 $V_L(\mathbf{x})$ 存储在贴图中，和屏幕分辨率无关，可调整精度

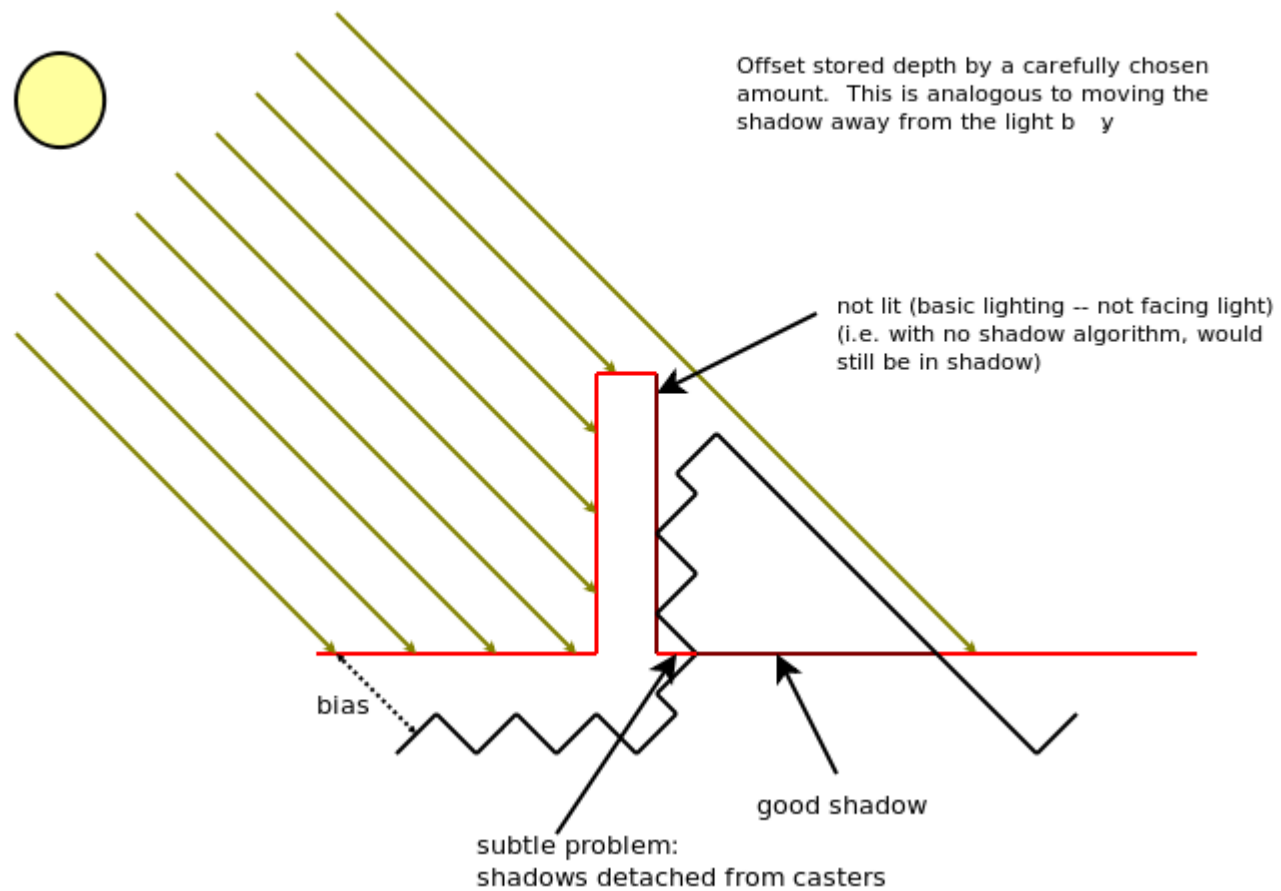


阴影贴图的问题

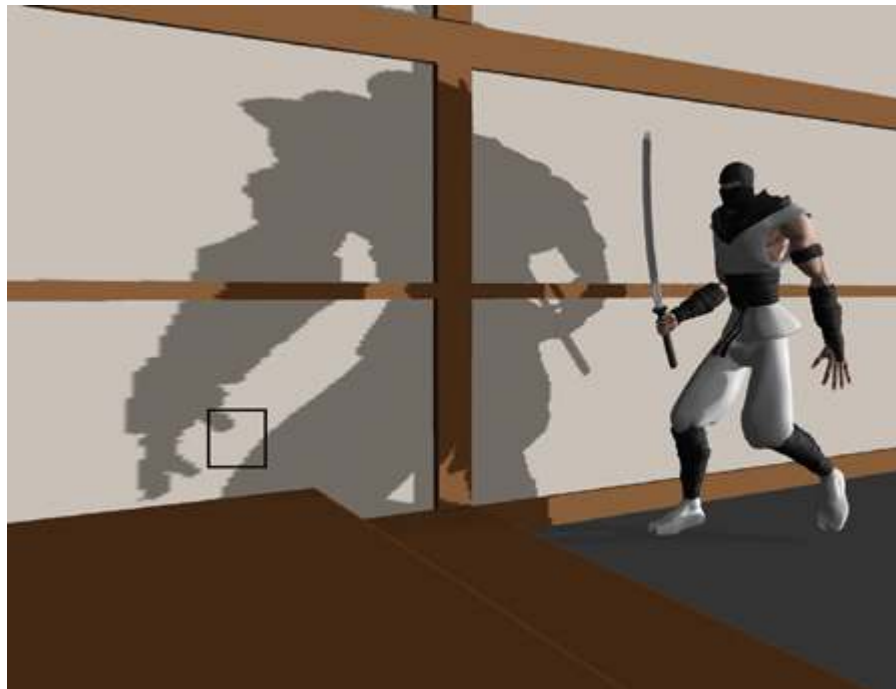




FIX: Bias



阴影锯齿



- 把深度贴图模糊化不能解决问题
- 问题在于 $V_L(\mathbf{x}) = \{0, 1\}$ 只有两个值

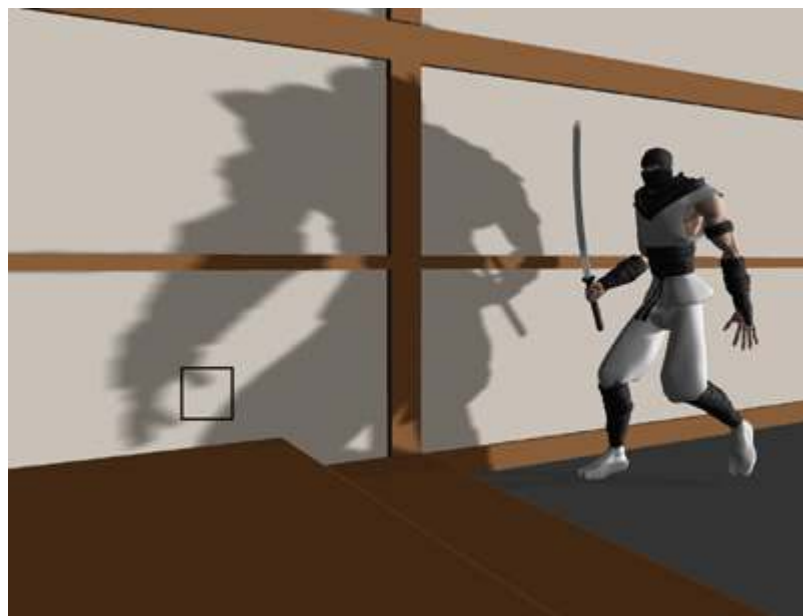
百分比渐近过滤

- 百分比渐近过滤（percentage closer filtering, PCF）是最简单方法
- 在采样点相邻位置采样，计算平均值

0	0	0	0	0	0	0	0	1
0	0	0	0	0	0	1	1	1
0	0	0	0	0	1	1	1	1
0	0	0	0	0	1	1	1	1
0	0	0	0	1	1	1	1	1
0	0	0	0	1	1	1	1	1
1	1	1	1	1	1	1	1	1

- Bunnell et al, [Shadow Map Antialiasing](#), GPU Gems, 2004.

PCF品质和性能成反比



(a)



(b)



(c)

方差阴影贴图

- 深度贴图每像素只记录一个深度，不能过滤
- 方差阴影贴图（Variance shadow map, VSM）为每像素计算深度的**分布**，就可过滤
- 相同品质下，性能比 PCF 好
- Donnelly et al, [Variance shadow maps](#), Proceedings of the 2006 symposium on Interactive 3D graphics and games. ACM, 2006.

方差阴影贴图过程

1. 渲染深度贴图 x ，及其平方贴图 x^2
2. 用图像核 $p(x)$ （一般用高斯）过滤 x 和 x^2 ：

$$M_1 = E(x) = \int_{-\infty}^{\infty} xp(x)dx, \quad M_2 = E(x^2) = \int_{-\infty}^{\infty} x^2 p(x)$$

3. 逐像素计算光照时，计算均值及方差

$$\mu = M_1, \quad \sigma = M_2 - M_1^2$$

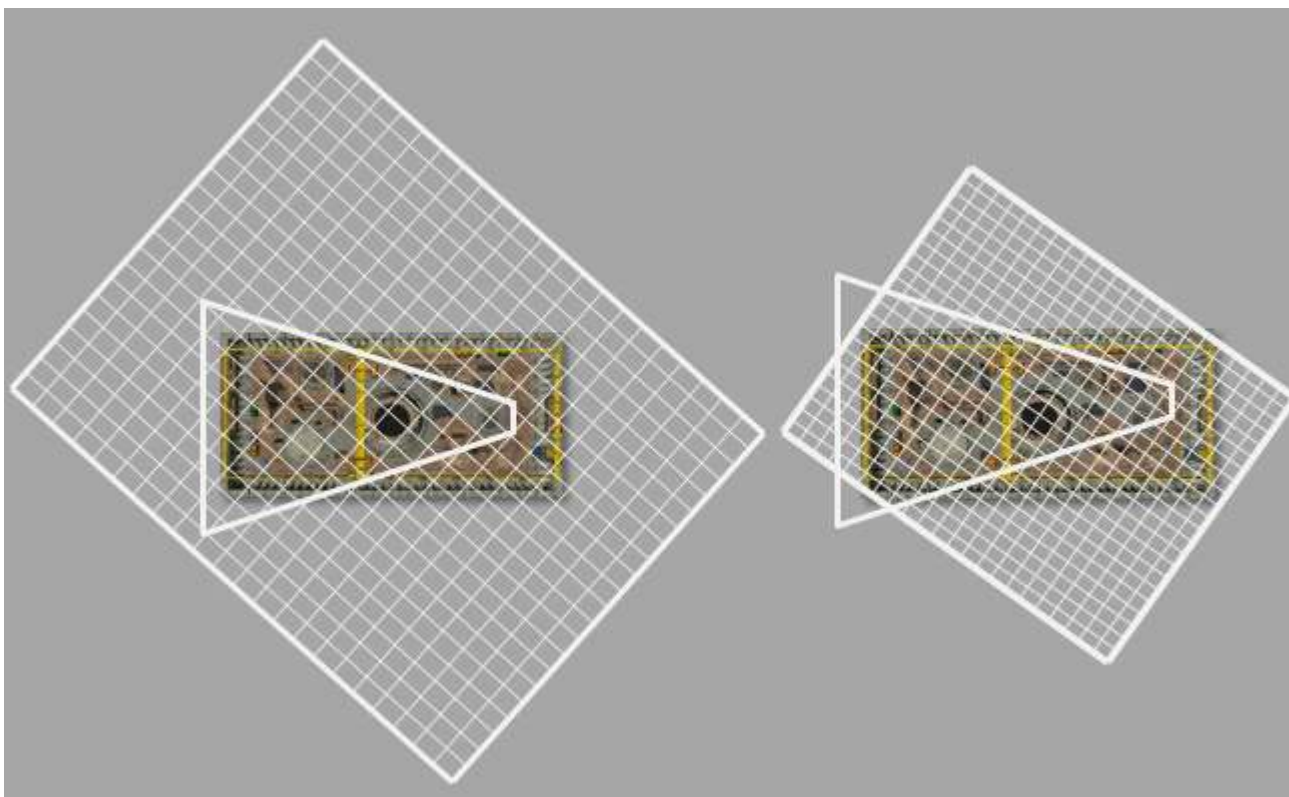
4. 若像素的深度 $t > \mu$ ，用切比雪夫不等式求遮挡的百分比上界

$$P(x \geq t) \leq \frac{\sigma^2}{\sigma^2 + (t - \mu)^2}$$

方差阴影贴图效果



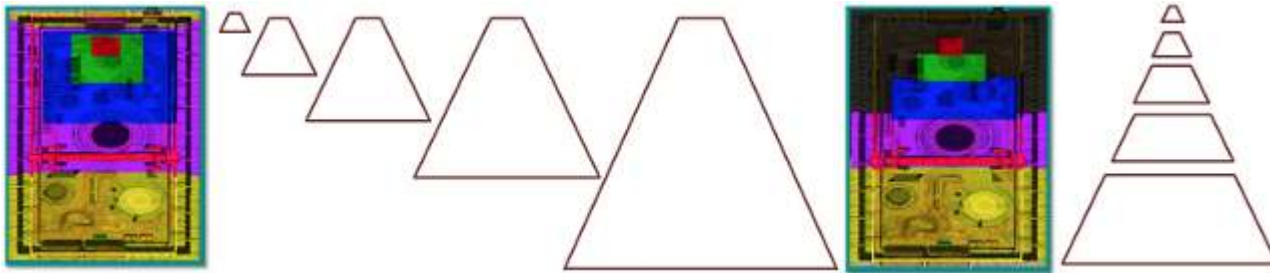
方向光的投影范围问题



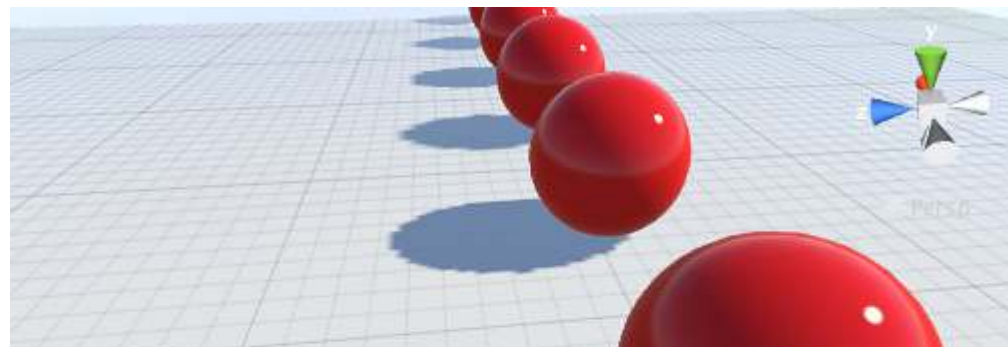
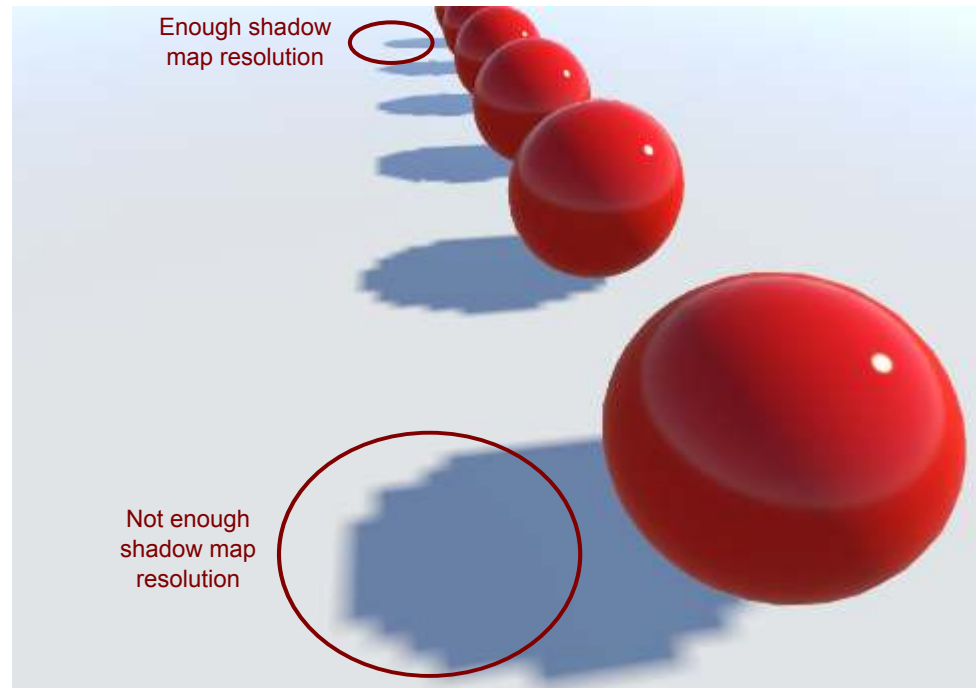
- 可以紧贴摄像头的平截头体及场景
- 但近景的深度贴图精度太低，远景又太高，怎样解决？

级联阴影贴图

- 一张阴影贴图无法满足，渲染多张深度贴图！
- 问题是如何设置多个投影范围



- Zhang et al, "Parallel-split shadow maps for large-scale virtual environments", VRCAI, 2006.
- Dimitrov et al, "[Cascaded shadow maps](#)", NVIDIA, 2007.





实时阴影技术

技术类型	例子
基本	SSM
分割	PSSM 、 CSM
扭曲	LiSPSM 、 TSM 、 PSM 、 CSSM
过滤	PCF 、 ESM 、 CSM 、 VSM 、 SAVSM 、 SMSR
软阴影	PCSS 、 SSSS 、 FIV
其他	ASM 、 AVSM 、 CSSM 、 DASM 、 DPSM 、 DSM 、 FSM LPSM 、 MDSM 、 RTW 、 RMSM 、 SDSM 、 SPPSM 、 SSSM

参考

- Akenine-Möller, Tomas, Eric Haines, and Naty Hoffman. Real-time rendering. Chapter 7.1-7.4, 9.1, CRC Press, 2008.
- Eisemann, Elmar, et al. Real-time shadows. CRC Press, 2011.